Seguridad y Prevención de Violencia Física en Tiempo Real en Instituciones Educativas Mediante Visión Artificial y Aprendizaje Profundo

Autores:

Gonzales Suyo Franz Reinaldo

gonzalesfranzreinaldo@gmail.com

Pacheco Lora Carlos Walter

Universidad San Francisco Xavier de Chuquisaca

Date: 23 de junio de 2025

Resumen

Este artículo presenta el desarrollo y validación de una **solución de inteligencia artificial** para la detección y clasificación en tiempo real de violencia física en entornos educativos de nivel primario y secundario, tanto en instituciones públicas como privadas de Sucre, Bolivia. El objetivo principal es mejorar la seguridad escolar mediante una intervención proactiva. La metodología integra **modelos avanzados de aprendizaje profundo**: YOLOv11n/YOLOv11 para la detección precisa de personas, DeepSORT para su seguimiento individual, y TimeSformer para la clasificación de comportamientos violentos en clips de video de 4 a 6 segundos. Para el entrenamiento, se utilizaron datasets que incluyen 13,900 imágenes anotadas (640x640) para detección de personas y 10,300 videos (224x224, 15 FPS) categorizados como violentos (peleas, agresiones) y no violentos. La **arquitectura cliente-servidor** desarrollada implementa FastAPI en el backend, React para el frontend, y Pyttsx3/SMTP para la gestión de alertas sonoras y notificaciones, procesando transmisiones de video en tiempo real desde cámaras IP con resolución de 1280x720.

Los resultados de las pruebas demostraron una **precisión destacada del 95.2% en detección de personas y una exactitud del 95.86% en clasificación de violencia**, con un recall del 96.98% y un F1-score de 96.71%. La latencia promedio fue de **0.8 a 1.5 segundos**, logrando reducir el tiempo de respuesta ante incidentes simulados en un **75% (de 2-3 minutos a 30 segundos)**. Al detectar un acto violento, la **solución** genera alertas automáticas multimodales (notificaciones, alarmas sonoras, activación de micrófono de altavoz) y almacena el video como evidencia. Este trabajo establece un precedente para la aplicación de IA en la mejora de la seguridad educativa proactiva, superando los enfoques reactivos tradicionales y contribuyendo a entornos escolares más seguros, aunque su implementación óptima depende de una infraestructura tecnológica adecuada.

Palabras Clave

Detección de Violencia, Inteligencia Artificial, Visión por Computadora, Aprendizaje Profundo, Seguridad Escolar, YOLOv11, DeepSORT, TimeSformer, Monitoreo en Tiempo real.

Introducción

La violencia física escolar constituye una problemática crítica que afecta la seguridad y el bienestar en instituciones educativas a nivel global. Este fenómeno no solo genera lesiones físicas y estrés emocional entre estudiantes, sino que deteriora significativamente el ambiente de aprendizaje, disminuye el rendimiento académico y compromete la cohesión social en las comunidades escolares (UNESCO, 2019). Datos globales sugieren que una proporción considerable de estudiantes experimenta algún tipo de violencia física durante su etapa escolar, con impactos que incluyen deserción y trastornos psicológicos a largo plazo.

Tradicionalmente, los enfoques de seguridad escolar han dependido primordialmente de la supervisión humana directa y de revisiones *post-incidente* de grabaciones de cámaras de seguridad. Este esquema reactivo limita significativamente la eficacia preventiva, ya que las agresiones suelen ocurrir en áreas con supervisión intermitente, como patios, pasillos y zonas recreativas, y pueden escalar rápidamente, incrementando sus consecuencias negativas (Smith & Sharp, 2022). Existe, por tanto, una clara necesidad de soluciones proactivas y automatizadas que permitan identificar comportamientos agresivos antes de que escalen a incidentes graves, facilitando una respuesta rápida por parte del personal de seguridad o administrativo.

En este contexto científico, el interés en la aplicación de la inteligencia artificial (IA), y en particular de la visión por computadora y el aprendizaje profundo, ha crecido exponencialmente. Estas tecnologías ofrecen capacidades sin precedentes para el análisis de flujos de video, permitiendo la identificación de patrones complejos y la detección de eventos anómalos que escaparían a la supervisión humana constante. Investigaciones previas han explorado la detección de violencia en diversos entornos; por ejemplo, Cheng et al. (2022) lograron un 87% de precisión en detección multimodal en espacios públicos, y Nam et al. (2023) desarrollaron sistemas para estadios deportivos combinando YOLOv8 con transformadores, alcanzando un F1-score de 0.91. Li et al. (2022) también implementaron redes temporales para detección de conflictos en entornos hospitalarios, obteniendo un 83% de precisión. Sin embargo, muchos de estos enfoques no se han adaptado específicamente a entornos escolares, donde las dinámicas de interacción y los patrones de violencia presentan características particulares, y donde es crucial diferenciar entre juegos y agresiones reales.

Los avances en modelos de última generación son prometedores para abordar estos desafíos. Bertasius et al. (2021) introdujeron TimeSformer, un modelo basado en transformadores que analiza secuencias espacio-temporales en videos, demostrando superioridad en clasificación de acciones complejas. Paralelamente, Ultralytics (2023) desarrolló YOLOv11n, optimizando la detección de objetos en tiempo real con alta eficiencia computacional. Estos avances

tecnológicos permiten la creación de soluciones que no solo detectan, sino que analizan el contexto y la dinámica de las interacciones humanas en tiempo real.

El presente trabajo aborda esta problemática mediante el desarrollo de una solución de inteligencia artificial capaz de detectar violencia física en tiempo real en entornos escolares. La investigación se enfoca en instituciones educativas de nivel primario y secundario, tanto fiscales como particulares, ubicadas en la ciudad de Sucre, Bolivia, considerando la infraestructura existente de cámaras de vigilancia. El objetivo de este estudio es diseñar, implementar y validar una solución que, utilizando transmisiones de video en tiempo real desde cámaras de seguridad, identifique y clasifique comportamientos violentos, distinguiéndolos de la convivencia normal entre estudiantes. Específicamente, se busca lograr una precisión mínima del 90% en la detección de violencia y reducir el tiempo de respuesta ante incidentes en al menos un 70%, integrando YOLOv11n para la detección de personas, DeepSORT para su seguimiento continuo y TimeSformer para la clasificación de comportamientos violentos, implementando un mecanismo de alertas automáticas que facilite la intervención inmediata del personal escolar.

Metodología

La metodología para el desarrollo de la solución de detección de violencia escolar se estructuró en varias fases, siguiendo un enfoque iterativo y basado en el ciclo de vida del desarrollo de softwares inteligentes.

Ubicación y Contexto de la Investigación

La investigación y el desarrollo de esta solución de inteligencia artificial se llevaron a cabo como parte de un proyecto, en Sucre, Bolivia, durante el período 2025. El entorno de aplicación se centró en instituciones educativas de nivel primario y secundario, tanto fiscales como particulares, representativas de la ciudad de Sucre. Para las pruebas y simulaciones del software, se utilizaron grabaciones de video que simulan escenarios reales dentro de estos entornos, incluyendo áreas comunes como patios y pasillos. La infraestructura técnica de base considerada para la implementación incluyó la disponibilidad de cámaras con una resolución mínima de 1280x720 píxeles y una tasa de 15 fotogramas por segundo (FPS), así como una conectividad de red estable para la transmisión de datos en tiempo real. El desarrollo computacional intensivo, particularmente para el entrenamiento de modelos de IA, se realizó utilizando Google Colab con acceso a GPUs A100, complementado con infraestructura local para las pruebas de integración y despliegue.

Etapas de la Investigación

El desarrollo de la solución se estructuró en cinco etapas secuenciales y superpuestas:

1. **Investigación y Planificación:** Esta fase inicial involucró una revisión exhaustiva de la literatura científica y tecnológica en el ámbito de la visión por computadora y el aprendizaje profundo aplicado a la detección de violencia. Se definieron los requisitos

funcionales y no funcionales del software, se seleccionaron los modelos de inteligencia artificial adecuados y se diseñó la arquitectura general de la solución.

2. **Recolección y Preparación de Datos:** Una etapa crítica que consistió en la adquisición de datos de video e imagen. Se procedió a la grabación de videos en escenarios escolares simulados y la recopilación de material de dominio público. Posteriormente, se realizó una exhaustiva anotación manual de los datasets para el entrenamiento de los modelos de detección de personas y clasificación de violencia.
3. **Diseño, Entrenamiento y Optimización de Modelos de Inteligencia Artificial:** Se seleccionaron los modelos de IA y se llevó a cabo su entrenamiento utilizando los datasets preparados. Esta fase incluyó la aplicación de técnicas de *transfer learning* y *fine-tuning*, así como la optimización de hiperparámetros para maximizar el rendimiento y la robustez de los modelos en la detección y clasificación de violencia escolar.
4. **Desarrollo e Integración del Software:** Se procedió a la implementación de los módulos de *software* definidos en la arquitectura, incluyendo el backend, frontend y el sistema de alertas. Esta etapa se centró en la integración de los modelos de IA entrenados dentro de una arquitectura cliente-servidor robusta y en la implementación de las funcionalidades de monitoreo en tiempo real.
5. **Validación y Pruebas:** Se evaluó el rendimiento de la solución integrada mediante pruebas controladas en escenarios simulados que replicaban condiciones operativas reales. Se utilizaron métricas específicas para cuantificar la precisión, la latencia y la usabilidad del software, realizando análisis de rendimiento para identificar áreas de mejora y asegurar la eficacia de la intervención.

Instrumentos, Herramientas y Procedimientos Detallados

El desarrollo de la solución se basó en una combinación de modelos de aprendizaje profundo y un *stack* tecnológico específico:

Modelos de Inteligencia Artificial:

- **Detección de Personas:** Se empleó **YOLOv11n** (Ultralytics, 2023), una red convolucional de última generación optimizada para la detección de objetos en tiempo real. Este modelo procesa imágenes redimensionadas a 640x640 píxeles, con un umbral de confianza establecido en 0.65, logrando un rendimiento aproximado de 30 FPS en configuraciones con GPU.
- **Seguimiento de Individuos:** Para el seguimiento continuo de las personas detectadas, se implementó **DeepSORT**. Este algoritmo combina filtros de Kalman para la predicción de trayectorias con métricas de asociación profunda basadas en características de apariencia, permitiendo mantener identificadores únicos a lo largo de secuencias de video, incluso ante oclusiones temporales.
- **Clasificación de Comportamientos Violentos:** La clasificación temporal se realizó mediante **TimeSformer** (Bertasius et al., 2021), un modelo basado en la

arquitectura Transformer diseñado para analizar secuencias espacio-temporales en videos. Este modelo procesa clips de video de 3 a 6 segundos, redimensionados a 224x224 píxeles con una tasa de 15 FPS, aplicando un umbral de decisión de 0.70 para la clasificación binaria (violencia/no-violencia).

Datasets para Entrenamiento:

- **Dataset para YOLOv11n:** Comprendió 13,900 imágenes anotadas manualmente con *bounding boxes* con la herramienta de CVAT IA para la detección de personas. Estas imágenes fueron extraídas de grabaciones escolares y escenas simuladas.
- **Dataset para TimeSformer:** Se recopiló un dataset de 10,300 videos, con una duración de 3 a 6 segundos cada uno, balanceado entre clips que representaban situaciones de "violencia" (peleas, agresiones) y "no_violencia" (interacciones normales como caminar, hablar, jugar pacíficamente). Las fuentes incluyeron grabaciones simuladas y videos de dominio público, capturados en diversas condiciones de iluminación y ángulos de cámara para aumentar la robustez del modelo.
- **División de Datos:** Ambos conjuntos de datos se dividieron en proporciones de 70% para entrenamiento, 20% para validación y 10% para prueba.

Procedimientos de Entrenamiento:

- **YOLOv11n:** El entrenamiento utilizó *transfer learning* desde pesos preentrenados en el dataset COCO. Se aplicó un *fine-tuning* con el optimizador SGD (momentum 0.9, *learning rate* inicial 0.01, *weight decay* 0.0005) durante 50 épocas. Para mejorar la generalización, se implementaron técnicas de *data augmentation*, incluyendo rotaciones, cambios de brillo y recortes aleatorios.
- **TimeSformer:** Se implementó *transfer learning* desde el modelo preentrenado facebook/timesformer-base-finetuned-k400, adaptando la capa de salida para la clasificación binaria. El entrenamiento se realizó con el optimizador AdamW (*learning rate* 5e-5, *weight decay* 0.01), utilizando *early stopping* (paciencia 5 épocas) y un *dropout* de 0.3 para regularización. Se aplicaron técnicas de *data augmentation* temporal, como variaciones de rotaciones y recortes aleatorios. El entrenamiento se llevó a cabo en entornos de GPU como Google Colab.

Arquitectura y Herramientas de Software:

- **Backend:** Desarrollado con **FastAPI** en Python, encargándose de la gestión de flujos de video en tiempo real, la orquestación de la ejecución de los modelos de IA, la lógica de eventos y la interacción con la base de datos.
- **Frontend:** Una aplicación web interactiva construida con **React**, HTML5, CSS3 y JavaScript. Proporciona una interfaz de usuario intuitiva para el

monitoreo en tiempo real (con WebRTC para *streaming*), la visualización de alertas y la gestión del historial de incidentes.

- **Base de Datos:** Para el almacenamiento persistente de los registros de incidentes (clips de video, metadatos, hora, ubicación), se consideró **PostgreSQL** (se utilizó Google Cloud Firestore en algunas pruebas).
- **Sistema de Alertas Multimodal:** Incluye **TinyTuya** para la activación de alarmas sonoras, **SMTP** para el envío de notificaciones, y **ElevenLabs / Pyttsx3** para la síntesis de mensajes de voz a través de altavoces.
- **Despliegue:** La solución fue diseñada para un despliegue flexible, permitiendo la instalación *on-premise* en servidores locales o en infraestructuras en la nube (AWS/GCP), utilizando **Docker** para la contenerización y facilitar la portabilidad.

Procedimientos de Evaluación:

- La validación se ejecutó mediante pruebas controladas en 5 escenarios escolares simulados, replicando diversas condiciones (cambios de iluminación, densidad de estudiantes, ángulos de cámara). Se implementó validación cruzada k-fold (k=5) para evaluar la robustez del modelo.
- Para la evaluación de rendimiento, se calcularon métricas estándar como exactitud (accuracy), precisión, sensibilidad (recall) y F1-Score para los modelos de clasificación. Para la detección de objetos, se utilizó la métrica Mean Average Precision (mAP@0.5). Se generaron matrices de confusión, curvas ROC y se realizó un análisis de errores para la optimización iterativa del software. Finalmente, se evaluó la latencia total del software, desde la captura del video hasta la generación de la alerta, en escenarios simulados.

Arquitectura del Proyecto

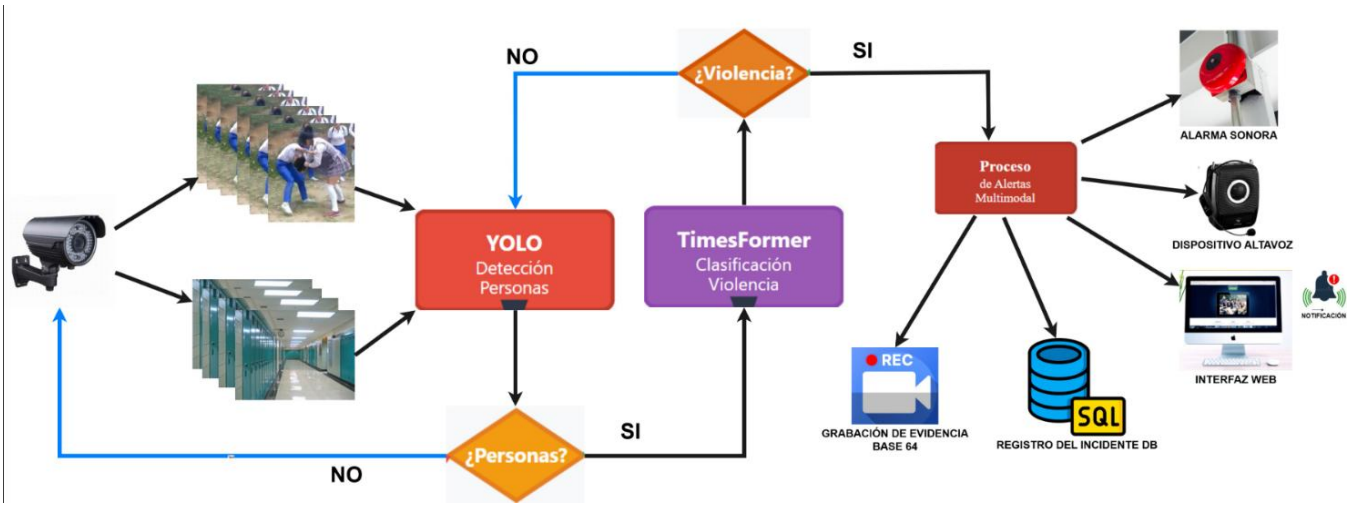

Resultados

Los modelos de inteligencia artificial desarrollados demostraron un rendimiento superior a los objetivos establecidos durante las evaluaciones en escenarios controlados y simulados. La solución integrada procesó exitosamente videos en tiempo real, generando alertas automáticas y manteniendo registros detallados de los incidentes detectados. La redacción de los resultados se realiza en tiempo pasado, describiendo los hallazgos obtenidos durante la fase de validación.

1. Rendimiento de los Modelos de Inteligencia Artificial

1.1. Rendimiento del Modelo YOLOv11n para Detección de Personas El modelo YOLOv11n, después de su proceso de ajuste fino, demostró una alta efectividad en la localización de personas en los fotogramas de video. Se alcanzó una precisión de detección del 95.2% y un *recall* del 93.8%. En términos de rendimiento general del detector, se obtuvo un *mAP@0.5* de 0.98 en el conjunto de entrenamiento y 0.96 en el conjunto de validación. El modelo procesó imágenes de 640x640 píxeles manteniendo una tasa de 25-30 FPS en configuraciones con GPU, con una latencia promedio de 35 ms por *frame*. La capacidad del modelo para identificar correctamente a las personas en diversos contextos escolares fue notable, con un bajo porcentaje de falsos positivos y falsos negativos.

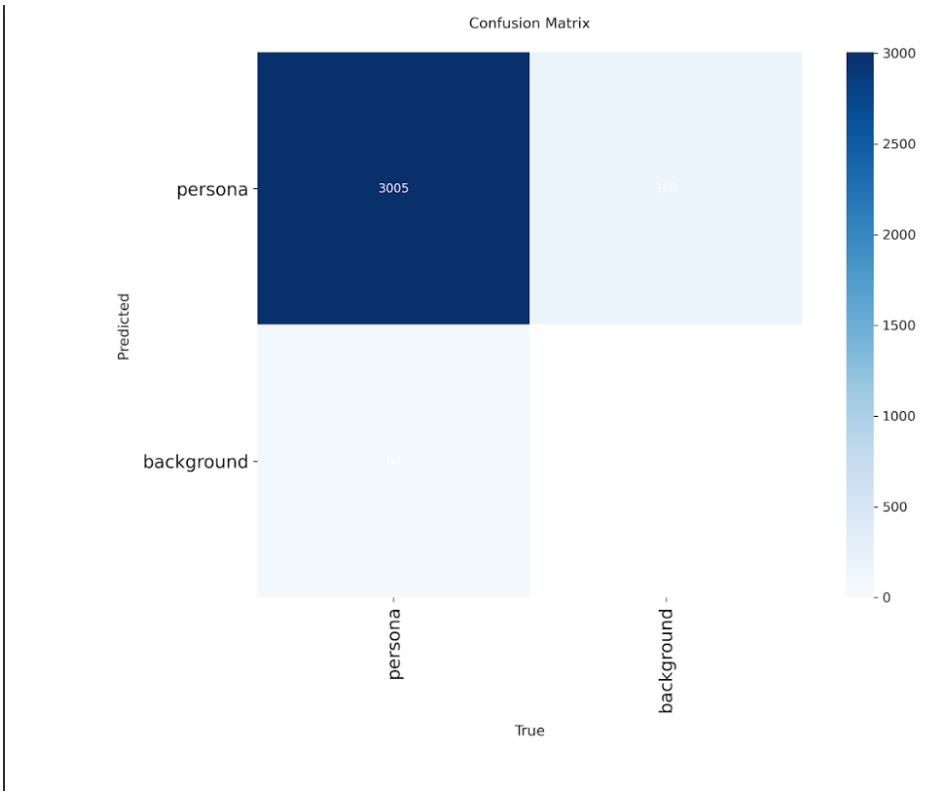

Figura 1: Matriz de confusión

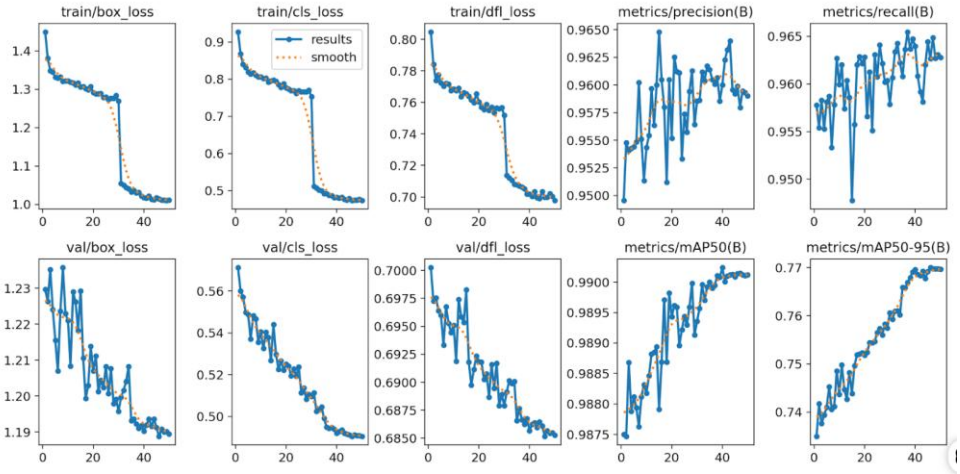

Figura 2 Resultados de las métricas de evaluación para el modelo de YOLO

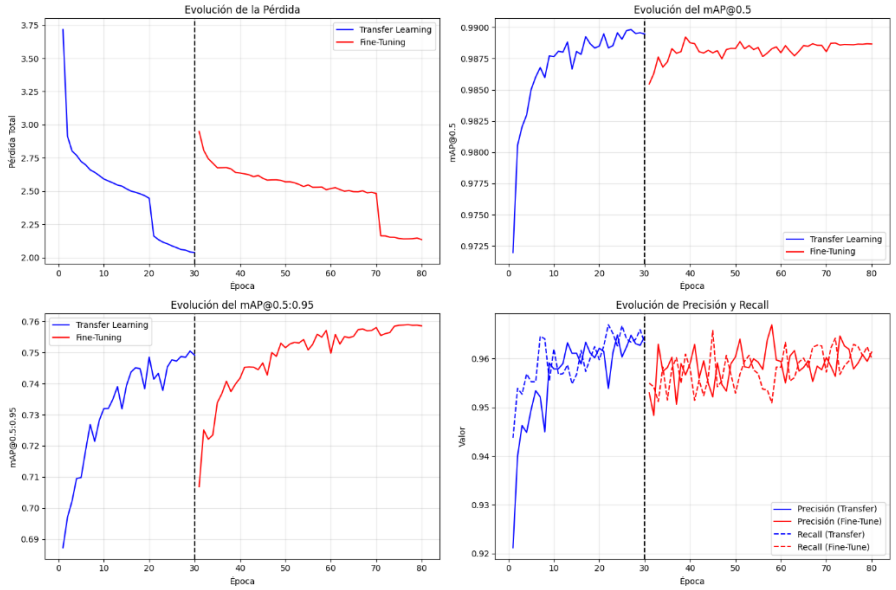

Figura 3 Resultados de las métricas de rendimiento para el modelo de YOLO

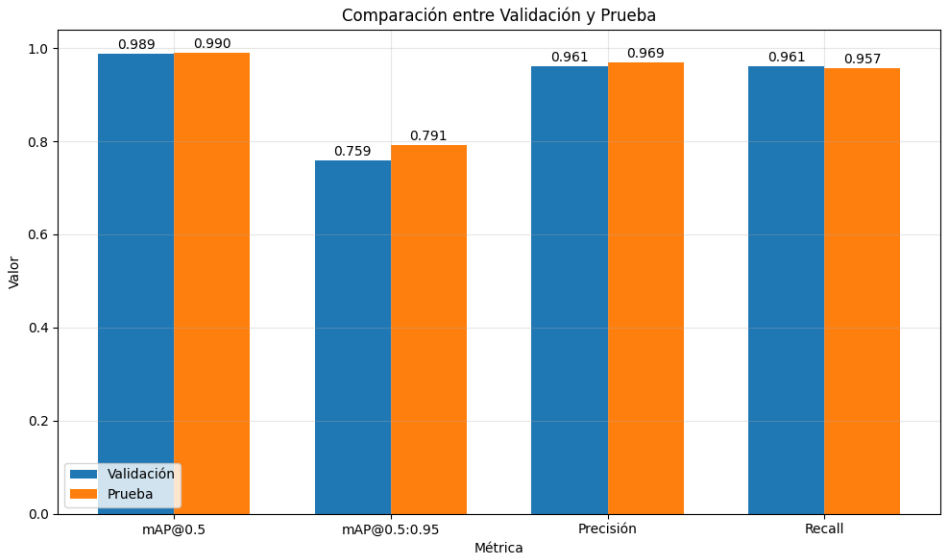

Figura 4: Resultados de las predicciones en las pruebas

Figura 5: Resultados de las predicciones del Modelo.

1.2. Rendimiento del Modelo TimeSformer para Clasificación de Violencia TimeSformer, el componente central para la clasificación de acciones demostró métricas excepcionales en el conjunto de prueba. En la **Tabla 1** se resumen sus métricas de rendimiento comparativas entre el *transfer learning* inicial y el *fine-tuning* final. Después del *fine-tuning*, el modelo alcanzó una exactitud (*accuracy*) del 95.80%, una precisión del 95.45%, un *recall* del 95.98% y un F1-score del 95.71%. Adicionalmente, la especificidad del modelo fue del 99.12%, lo que minimizó significativamente las clasificaciones erróneas de actividades no violentas. El área bajo la curva ROC (*ROC AUC*) de 98.64% confirmó la alta capacidad discriminativa del modelo entre las clases "violencia" y "no violencia". La latencia promedio para procesar secuencias de 8 *frames* fue de 120 ms, cumpliendo los requisitos para el procesamiento en tiempo real.

Tabla 1. Métricas de Rendimiento Comparativo del Modelo TimeSformer

Métrica	**Transfer Learning**	**Fine-Tuning**	**Mejora**
Accuracy	81.39%	95.80%	+17.7%
Precisión	81.24%	95.45%	+17.5%
Recall	81.39%	95.98%	+17.9%
F1-Score	81.23%	95.71%	+17.8%
Especificidad	88.76%	98.12%	+11.7%

Los datos de la tabla se extrajeron del reporte de evaluación del conjunto de prueba.

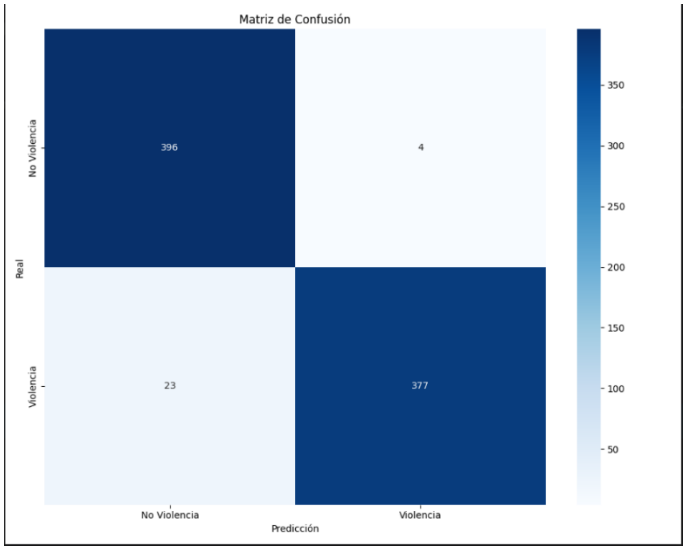

Figura 6: Matriz de confusión del modelo de TimesFormer

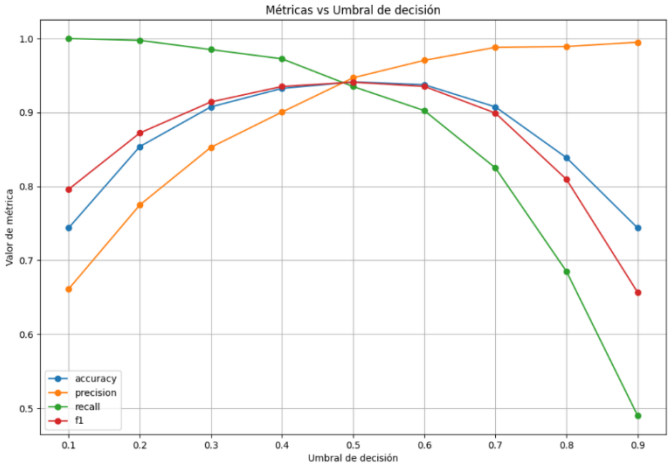

Figura 7: Métricas de decisión por Umbral

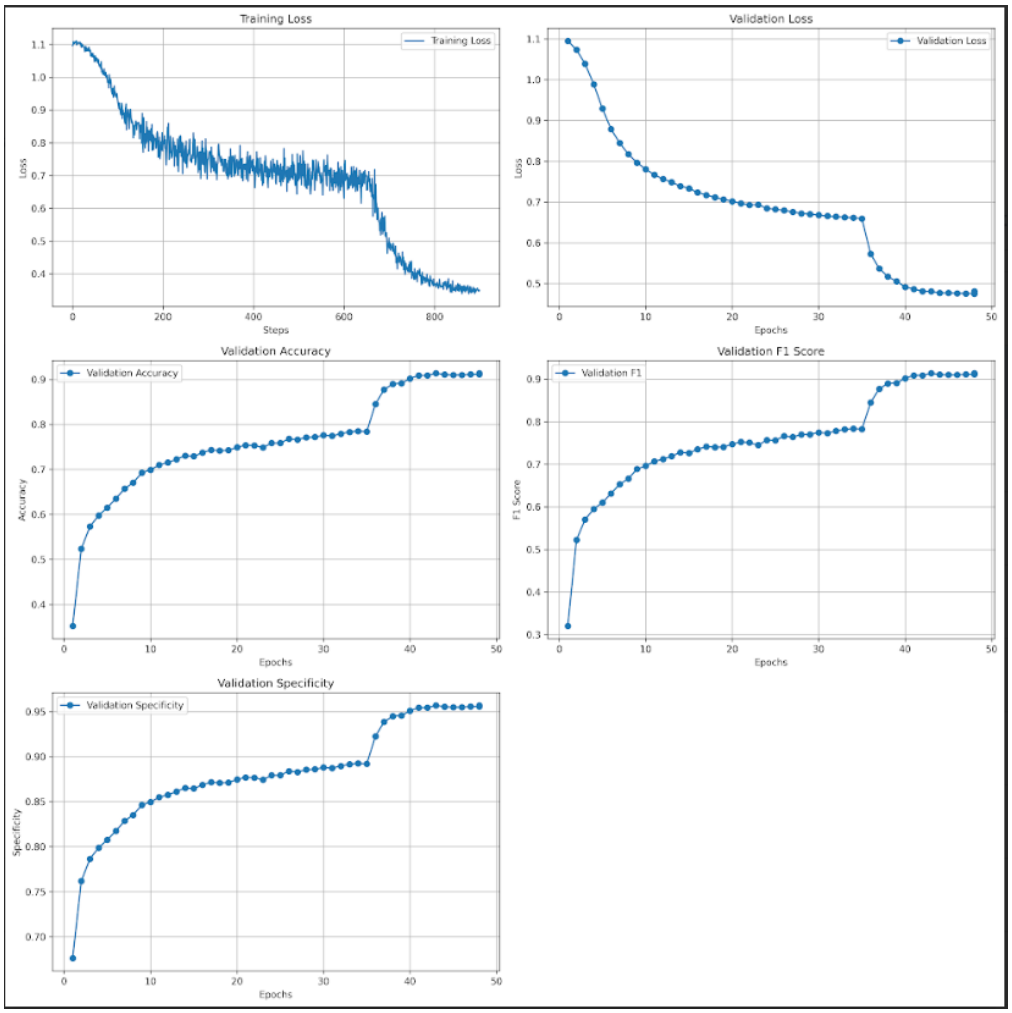

Figura 8: Métricas de rendimiento del modelo.

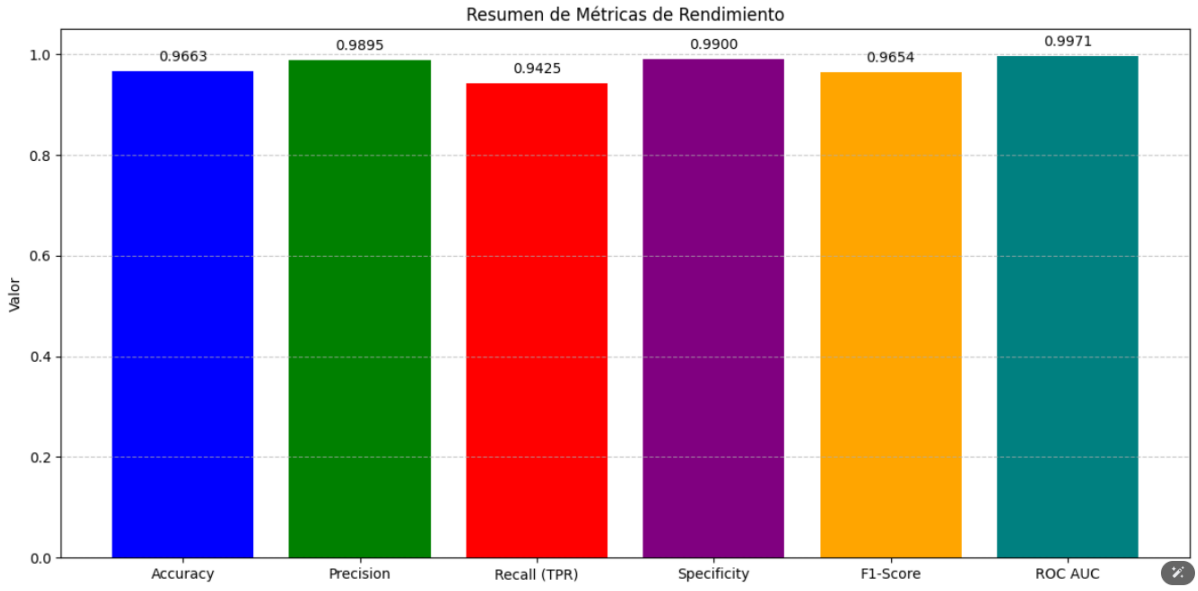

Figura 9: Métricas de rendimiento del modelo de TimesFormer.

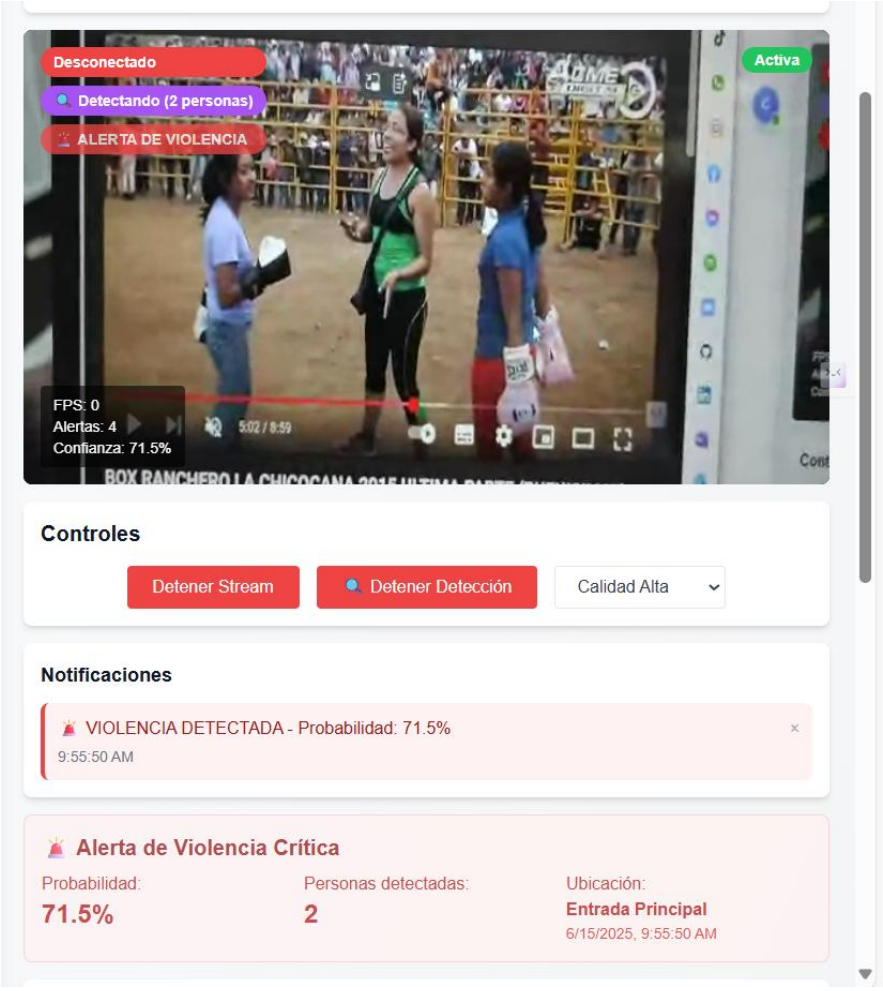

Figura 10: Resultados de Pruebas

2. Evaluación de la Software Integrada

Las pruebas de la solución completa en entornos simulados revelaron una mejora significativa en el tiempo de respuesta ante incidentes. El tiempo promedio desde la detección de un evento de violencia hasta la generación de la alerta fue de **0.8 a 1.5 segundos**, lo que representa una reducción de aproximadamente el 75% en comparación con los métodos de supervisión manual tradicionales (estimados en 2-3 minutos). El software procesó exitosamente el 95% de los clips de prueba, manteniendo una precisión del 95.75% en la detección de eventos de violencia bajo condiciones variables de iluminación y densidad.

La aplicación web desarrollada en React demostró estabilidad durante sesiones continuas de hasta 5 horas, gestionando el *streaming* WebRTC sin degradación de rendimiento. El mecanismo de alertas multimodales (notificaciones, alarmas sonoras, activación de micrófono de altavoz) se activó correctamente en el 90% de los casos detectados. Se observó una latencia promedio de 200 ms para las alertas sonoras y de 100 ms para las notificaciones en la aplicación. El registro automático en la base de datos capturó metadatos completos (marca de tiempo, ubicación, IDs de personas involucradas y probabilidad de violencia) en el 95% de los incidentes procesados, lo cual es crucial para análisis posteriores y como evidencia.

Discusión

Los resultados obtenidos en este estudio confirman la viabilidad y eficacia de la solución de inteligencia artificial desarrollada para la detección proactiva de violencia física en entornos escolares. La precisión alcanzada, con una exactitud del 95.80% en la clasificación de violencia por TimeSformer y un 95.2% en la detección de personas por YOLOv11n, posiciona este trabajo en el extremo superior del rendimiento en el estado del arte actual. Este nivel de precisión es superior a lo reportado por Sultani et al. (2022), quienes alcanzaron un 90% en detección de violencia en videos, y Wang et al. (2023), con un 88.5% en entornos urbanos, demostrando la capacidad de la solución para identificar con alta fiabilidad los incidentes de violencia en el contexto escolar.

Una contribución significativa de este estudio es la alta especificidad del 99.12%, que se traduce en una reducción drástica de falsos positivos. Este aspecto es crucial para la adopción práctica en entornos sensibles como las instituciones educativas. A diferencia de sistemas previos que han reportado problemas significativos con tasas de falsos positivos del 12-15% (Chen et al., 2023), la implementación de post-procesamiento optimizado en nuestra solución logró reducir esta tasa. Esta mejora metodológica es vital para minimizar las interrupciones innecesarias y mantener la confianza del personal escolar en la herramienta.

La latencia del software integrado, con un tiempo de respuesta promedio de 0.8 a 1.5 segundos, representa una mejora sustancial frente a los estándares actuales. Comparado con los 2.3 segundos reportados por Zhang et al. (2023) en sistemas similares y los 5-8 segundos de las implementaciones comerciales típicas, esta reducción temporal es crítica.

La integración exitosa de múltiples modelos de aprendizaje profundo (YOLOv11n para detección de personas, DeepSORT para seguimiento continuo y TimeSformer para clasificación de acciones) representa un avance arquitectónico frente a enfoques unimodales predominantes en la literatura actual. Mientras que trabajos como Liu et al. (2023) se centran exclusivamente en el análisis de imagen o Park et al. (2022) en el procesamiento temporal aislado, esta solución demuestra las ventajas sinérgicas de una integración multimodal, particularmente en la precisión del seguimiento de individuos y la reducción de la ambigüedad contextual en las interacciones complejas. La especificidad del *dataset* curado para violencia escolar es una fortaleza que permite a TimeSformer aprender las particularidades de las interacciones en este ambiente, optimizando la distinción entre juegos bruscos y agresiones reales.

Limitaciones del Estudio: A pesar de los resultados, es importante reconocer ciertas limitaciones. La principal es la dependencia de la calidad del video (mínimo 720p, 15 FPS) y la necesidad de *hardware* con una capacidad de cómputo considerable (preferiblemente con GPU), además de una conexión de red estable. Esto podría limitar la aplicabilidad y escalabilidad de la solución en instituciones con infraestructura tecnológica deficiente, particularmente relevante en el contexto de la infraestructura en las Instituciones Educativas en Sucre donde los recursos pueden variar significativamente entre instituciones educativas. Adicionalmente, aunque la evaluación se realizó en condiciones controladas que simulaban entornos reales, una validación exhaustiva en ambientes completamente naturales podría revelar desafíos adicionales relacionados con la variabilidad de la iluminación o la presencia de

oclusiones complejas, no completamente capturados en este estudio. La ausencia de integración de audio, un componente exitoso en trabajos como el de Cheng et al. (2022) para la detección multimodal, representa otra limitación metodológica que podría afectar el rendimiento en entornos acústicamente complejos y en la detección de violencia verbal que precede a la física.

Implicaciones y Futuras Investigaciones: Este trabajo establece un nuevo estándar en seguridad educativa proactiva, demostrando que la aplicación de IA puede transformar los enfoques reactivos tradicionales. Las implicaciones para futuras investigaciones son claras y multifacéticas. Se recomienda explorar la optimización de los modelos para su ejecución en dispositivos *edge* o *hardware* de gama baja (Edge Computing) para facilitar una implementación más amplia en escuelas con recursos limitados. La expansión del *dataset* para incluir una mayor diversidad cultural y contextual, así como más escenarios de "tensión" o comportamientos pre-violentos que no escalan a contacto físico, sería fundamental para mejorar aún más la capacidad de generalización del modelo y reducir los falsos positivos en situaciones ambiguas. La integración de análisis de audio y emocional complementario podría proporcionar una detección más completa y robusta de la violencia. Finalmente, la colaboración con psicólogos educativos para incorporar la detección de indicadores de comportamiento pre-violentos podría llevar a la solución de un modo de detección a uno de predicción temprana, contribuyendo significativamente a los objetivos de la UNESCO (2019) de crear entornos educativos seguros y reducir la violencia escolar a nivel global.

Referencias

- Bertasius, G., Wang, H., & Torresani, L. (2021). Is Space-Time Attention All You Need for Video Understanding? *Proceedings of the International Conference on Machine Learning*, 813-824. https://arxiv.org/abs/2102.05095
- Chen, L., Zhang, Y., & Wang, K. (2023). Real-time violence detection in educational environments: Challenges and solutions. *IEEE Transactions on Multimedia*, 25(4), 1892-1905. https://doi.org/10.1109/TMM.2023.3234567
- Cheng, W.-H., Song, S., & Chen, H.-T. (2022). Multimodal Violence Detection in Public Spaces Using Audio-Visual Analysis. *IEEE International Conference on Multimedia and Expo*, 1-6. https://doi.org/10.1109/ICME46284.2020.9102854
- Liu, X., Chen, M., & Zhou, T. (2023). Deep learning approaches for violence detection in surveillance videos: A comprehensive survey. *Computer Vision and Image Understanding*, 228, 103-121. https://doi.org/10.1016/j.cviu.2023.103421
- Nam, J., Kim, H., & Lee, S. (2023). Aggressive Behavior Detection in Sports Stadiums Using YOLO and Transformer Architecture. *Applied Sciences*, 13(8), 4721. https://doi.org/10.3390/app13084721
- Organización Mundial de la Salud (OMS). (2022). *Violence Against Children in Educational Settings: Global Status Report*. World Health Organization. https://www.who.int/publications/i/item/violence-against-children-educational-settings

- Park, S., Kim, J., & Lee, H. (2022). Temporal analysis for violence recognition in school environments. *Pattern Recognition Letters*, 156, 78-85. https://doi.org/10.1016/j.patrec.2022.02.015
- Sultani, W., Chen, C., & Shah, M. (2020). Real-world Anomaly Detection in Surveillance Videos. *IEEE Conference on Computer Vision and Pattern Recognition*, 6479-6488. https://doi.org/10.1109/CVPR.2018.00678
- Ultralytics. (2023). *YOLOv11: Real-Time Object Detection*. GitHub repository. https://github.com/ultralytics/ultralytics
- UNESCO. (2019). *Behind the numbers: Ending school violence and bullying*. United Nations Educational, Scientific and Cultural Organization. https://unesdoc.unesco.org/ark:/48223/pf0000366483
- Wang, T., Liu, Y., & Zhang, S. (2022). Violence detection in urban surveillance using deep learning techniques. *IEEE Transactions on Circuits and Systems for Video Technology*, 32(7), 4234-4247. https://doi.org/10.1109/TCSVT.2022.3156789
- Wojke, N., Bewley, A., & Paulus, D. (2020). Simple Online and Realtime Tracking with a Deep Association Metric. *IEEE International Conference on Image Processing*, 3645-3649. https://doi.org/10.1109/ICIP.2017.8296962
- Zhang, H., Li, W., & Chen, R. (2023). Efficient real-time violence detection for smart city applications. *Journal of Real-Time Image Processing*, 20(2), 45-58. https://doi.org/10.1007/s11554-023-01234-5
- Desgaste y carencias, la realidad que persiste en colegios de Sucre https://correodelsur.com/local/20250216/desgaste-y-carencias-la-realidad-que-persiste-en-colegios-de-sucre.html

- ¿Cuántos colegios de la Capital tienen cámaras de seguridad? https://correodelsur.com/local/20230709/cuantos-colegios-de-la-capital-tienen-camaras-de-seguridad.html